

6. Greenwood J.A. Adhesion of elastic spheres. Proc. Roy. Soc. London A. 1997. Vol. 453, № 1961. Пр. 1277–1297.

7. Muller V.M., Yushchenko V.S., Derjugin B.V. On the influence of molecular forces on the deformation of an elastic sphere and its sticking to a rigid plane. J. Colloid and Interface Sci. 1980. Vol. 77, № 11. Пр. 91–101.

8. Tian H., Matsudaira T. Effect of relative humidity on friction behavior of the head/disk interface. IEEE Trans. Magnetics. 1992. Vol. 28, № 5, № 14. Пр. 2530–2532.

9. Rabinowicz E. Friction and wear of materials. N. Y.: Wiley. 1965. 241 p.

10. Goryacheva I.G. Механика фрикционного взаимодействия. М.: Наука. 2001. 478 с.

11. Махосяк Ю.Ю. Дискретный контакт упругих тел при наложении геом. Пр. РАН. МГТ. 2003. № 2. С. 49–60.

12. Галин Л.А. Контактные задачи теории упругости и вязкоупругости. М.: Наука. 1980. 303 с.

13. Горячева И.Г., Махосяк Ю.Ю. Контактное взаимодействие упругого тела при падении алгезин. ПММ. 1999. Т. 63. Вып. 1. С. 128–137.

14. Makhotkina Yu.Yu., Goryacheva I.G. The combined effect of capillarity and elasticity in contact interaction. Tribology International. 1999. № 34. Пр. 507–515.

15. Горячева И.Г., Махосяк Ю.Ю. Алгезионное взаимодействие упругого тела. ПММ. 2001. Т. 65. Вып. 2. С. 279–280.

16. Дженсон К. Механика контактного взаимодействия. М.: Мир. 1988. 509 с.

1. Основные соотношения теории микроразрушения твердых тел

Начальная стадия процесса разрушения твердого тела под действием механического нагружения состоит в зарождении и росте субмикроскопических трещин длиной $(10^{-7} - 10^{-5})$ м, их переходе в микроскопические трещинты $(10^{-4} - 10^{-2})$ м, дальнейший рост и слияние которых обуславливает появление коротких трещин $(5 \cdot 10^{-2} - 0.1)$ м.

В качестве основного критического параметра процесса образования таких трещин принимается объемная плотность трещин ρ_z , $z = \text{sm, m, sh}$, в виде:

$$\rho_z = \lim_{\Delta V \rightarrow 0} \frac{\Delta n_z}{\Delta V}, \quad z = \text{sm, m, sh}; \quad \sum_z \rho_z = \rho_l. \quad (1)$$

здесь $\rho_{\text{sm}}, \rho_{\text{m}}, \rho_{\text{sh}}$ — объемные плотности субмикроскопических, микромеханических и коротких трещин соответственно; $\Delta n_{\text{sm}}, \Delta n_{\text{m}}, \Delta n_{\text{sh}}$ — количество субмикроскопических, микромеханических и коротких трещин соответственно в объеме ΔV твердого тела; ρ_l — предельное значение объемной плотности трещин, экспериментально определяемое физическими методами исследования структуры металла (рентгеноскопии, ультразвуковыми исследованиями, электроп脉а микроскопия и др.) и эмиссионным методом теории дислокаций [1].

ОБ ОДНОМ ПОДХОДЕ К ОПИСАНИЮ МИКРОРАЗРУШЕНИЯ ТВЕРДЫХ ТЕЛ

Э.Б. Завойчинская

Московский государственный университет имени М.В. Ломоносова,
Москва, Россия

Основные подходы механики разрушения конструктивного элемента базируются на изучении либо упруго-пластического деформирования в первичные трещины, либо вязкого разрушения материала. Однако есть основания предполагать, что первоначальной разрушения может являться развитие микротрещин в упругой зоне. Процесс разрушения микроразрушения при упругом деформировании предполагается описывать функцией плотностей субмикроскопических, микроскопических и коротких трещин в зависимости от прочности патрунения. По результатам диагностики развития трещин можно вычислять экспериментальные значения плотностей трещин и определять вероятность микроразрушений конструктивного элемента.

Черновая и кефирная часть, 2006.

Здесь описываются хрупкие микроразрушения (когда разрушаются межаломные связи внутри зерен (межзеренный скол) или на их границах (транскристаллитный скол)), которые определяются упругой составляющей деформаций. Экспериментально обнаружено, что в отличие от размеров субмикро- и микротрещин (которые в целом стабильны в процессе нагружения) их объемная плотность является чувствительной характеристикой напряженного состояния и характеризует разрушение тела, связанные с их критической концентрацией. Концентрация микроскопических и коротких трещин на различных стадиях возникновения и развития меняется на несколько порядков. Исследование формирования и развития макротрещин проводится в механике разрушения и здесь не рассматривается. Изучаемые циклические состояния возникают в окрестности вершины макротрещины, что в дальнейшем обуславливает ее рост.

1.1. В процессе проведения испытаний плоских образцов из малоуглеродистой стали ($\sigma_s = 21 \text{ кГ/мм}^2$, $\sigma_b = 38 \text{ кГ/мм}^2$ при симметричном изгибе [2] изучалась микроструктура материала методом фрактографии. Были выделены четыре стадии процесса усталостного разрушения материала. Первой стадии соответствует иллюбационый период, развития разрушения, который характеризуется зарождением и синхронным движением с образованием липких скольжений. Сдвигам материала по характерному значению плотности субмикроскопических трещин и их развитию (см. рис. 1, кривая I, фрактография I). На второй стадии происходит увеличение количества зерен, содержащих субмикроскопические трещины, распространение полос скольжения за пределы зерна II и первичного скользкого микроскопических трещин характерного значения ρ_m^{**} (рис. 1, кривая II, фрактография II). Третья стадия процесса разрушения характеризуется слиянием микроскопических трещин, появлением коротких трещин, плотность которых при дальнейшем нагружении достигает характерного значения ρ_{sh}^{**} (рис. 1, кривая III, фрактография III). На стадии IV локализация интенсивного развития коротких трещин в некоторых зонах материала приводит к появление макротрещин либо сопровождаемых квадратиками — плотность микроскопических трещин $\rho_m = \rho_m^{**}$ (стадия IV, фрактография IV). Для каждой

стадии развития разрушения приведены фрактографии рельефа распространения трещин.

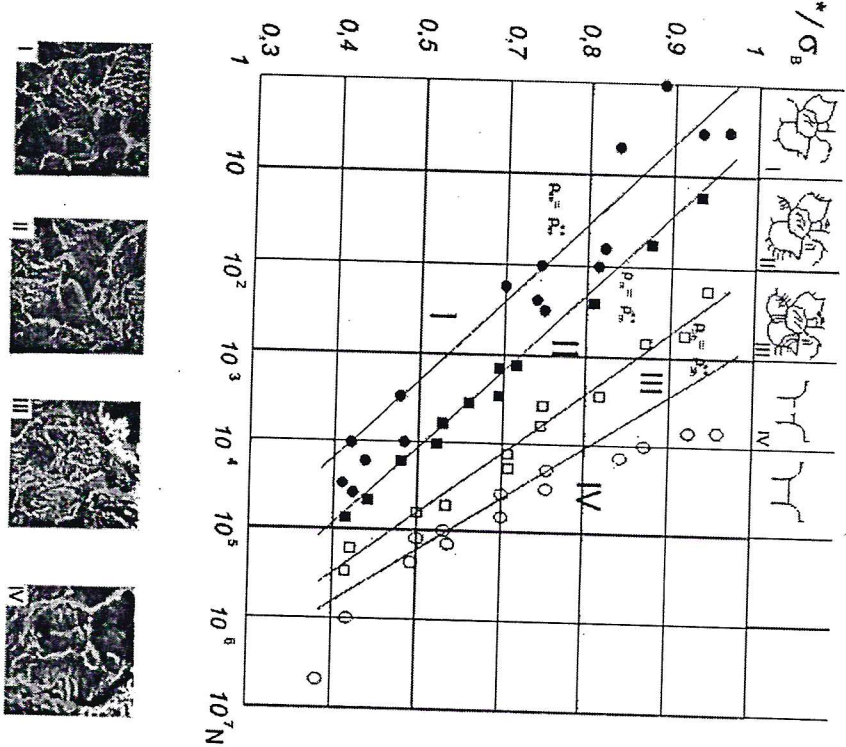


Рис. 1. Зависимость относительной амплитуды симметричных напряжений от числа циклов достижения характерных значений плотностей субмикроскопических, микроскопических и коротких трещин и фрактография микроразрушения малоуглеродистой стали.

На рис. 1 представлена экспериментальная зависимость относительной амплитуды напряжений σ^*/σ_0 от числа циклов N достижения характерных значений плотностей трещин. Сплошными кружочками представлены результаты экспериментов, в которых плотность субмикроскопических трещин достигла значения $\rho_{sm} = \rho_{sm}^{**}$ (стадия I), сплошными квадратиками — плотность микроскопических трещин $\rho_m = \rho_m^{**}$ (стадия II), полыми кружочками — плотность ко-

коротких трещин равна $\rho_{sh} = \rho_{sh}^{**}$ (стадия III). Помимо кружочками представлены экспериментальные линии зависимости σ^*/σ_b от числа циклов до образования макротрещин.

1.2. Для асимметричных предельных сдвигов вида

$$\tau(t) = \tau_m + \tau_a \sin \omega t, \quad (2)$$

где τ_m, τ_a — среднее значение и амплитуда сдвига, предполагается, что объемную плотность субмикроскопических $\rho_{sm} = \rho_{sm}(t)$, микроскопических $\rho_m = \rho_m(t)$ и коротких $\rho_{sh} = \rho_{sh}(t)$ трещин можно представить в виде суммы:

$$\rho_z(t) = \rho_{z,0}(t) + \rho_{z,a}(t), \quad z = sm, m, sh. \quad (3)$$

Рассмотрим постоянное нагружение вида: $\tau(t) = \tau_m h(t)$, где $h = h(t)$ — функция Хенкайда. По результатам экспериментов определим следующие предельные критерии: кривую длительной прочности $t_f = t_f(\tau_m)$ при разрушении материала, кривые $t_z = t_z(\tau_m)$, $z = sm, m, sh$, характеристики объемной плотности субмикрофрактографий микроструктуры материала при постоянном сдвиге скопических, микроскопических и коротких трещин по результатам определено соответственно.

Функцию плотности $\rho_{z,0} = \rho_{z,0}(t)$, $z = sm, m, sh$, субмикроскопических, микроскопических и коротких трещин соответственно определим из следующих соотношений ($\lg(t \times t_z(\tau_m)) \leq \lg t_f(\tau_m)$):

$$\rho_{z,0}(t) = \begin{cases} \rho_z^* \left(1 - \frac{1 - \frac{\tau_m}{t}}{1 - \frac{\tau_s}{t_b}} \right) & \text{при } \tau_b \geq \tau_a \geq \tau_s, \\ \rho_{z,s}(t) \left(1 - \frac{1 - \frac{\tau_m}{t}}{1 - \frac{\tau_s}{t-1}} \right) & \text{при } \tau_s \geq \tau_a \geq \tau_{-1}, \\ 0 & \text{при } \tau_{-1} \leq \tau_a \leq \tau_{-s}, \end{cases}$$

($z = sm, m, sh$),

$$\rho_{z,s} = \begin{cases} \rho_z^* \left(N \frac{\lg N_f(\tau_{a_i}, \omega_i)}{\lg N_f(\tau_s, \omega_i)} (t) - 1 \right) & \text{при } \lg N_f(\tau_{-1}, \omega_i) \leq \lg(\omega_i t \times N_z(\tau_{a_i}, \omega_i)) \leq \lg N_f(\tau_s, \omega_i), \\ \rho_z^* & \text{при } \lg(\omega_i t \times N_z(\tau_{a_i}, \omega_i)) \geq \lg N_f(\tau_s, \omega_i), \end{cases} \quad (4)$$

$$\rho_{z,-1} = \begin{cases} \rho_z^* \left(N \frac{\lg N_f(\tau_{a_i}, \omega_i)}{\lg N_f(\tau_{-1}, \omega_i)} (t) - 1 \right) & \text{при } \lg(\omega_i t \times N_z(\tau_{a_i}, \omega_i)) \leq \lg N_f(\tau_{-1}, \omega_i), \\ \rho_{z,s} & \text{при } \lg(\omega_i t \times N_z(\tau_{a_i}, \omega_i)) \geq \lg N_f(\tau_{-1}, \omega_i), \end{cases}$$

$$N(t) = \exp \frac{\ln 2 \times \lg(\omega_i t \times N_z(\tau_{a_i}, \omega_i))}{\lg N_f(\tau_{a_i}, \omega_i)},$$

где τ_{-1}, τ_{-s} — предел выносливости и практический предел текучести материала соответственно.

Пусть погружение представляется в виде ряда:

$$\tau(t) = \tau_m + \sum_{i=1}^J \tau_{a_i} \sin \omega_i t. \quad (6)$$

Тогда аналогично формуле (3) имеем:

$$\rho_z(t) = \rho_{z,0}(t) + \sum_{i=1}^J \rho_{z,a_i}(t, \omega_i), \quad z = sm, m, sh. \quad (7)$$

1.3. Обратимся к формулировке критерия разрушения. Предельным состоянием является достижение объемной плотности коротких

— кривых усталостной прочности при разрушении материала, $N_z = N_z(\tau_{a_i}, \omega_i)$, $z = sm, m, sh$ — кривые характеристических значений объемной плотности субмикроскопических, микроскопических и коротких трещин по результатам фрактографий микроструктуры материала при симметричном сдвиге.

Функцию плотности $\rho_{z,a} = \rho_{z,a}(t)$ в выражении (3) найдем из выражений ($\lg(\omega_i t \times N_z(\tau_{a_i}, \omega_i)) \leq \lg N_f(\tau_{a_i}, \omega_i)$):

$$\rho_{z,a}(t) = \begin{cases} \rho_z^* \left(1 - \frac{1 - \frac{\tau_m}{t}}{1 - \frac{\tau_s}{t_b}} \right) & \text{при } \tau_b \geq \tau_a \geq \tau_s, \\ \rho_{z,s}(t) \left(1 - \frac{1 - \frac{\tau_m}{t}}{1 - \frac{\tau_s}{t-1}} \right) & \text{при } \tau_s \geq \tau_a \geq \tau_{-1}, \\ 0 & \text{при } \tau_{-1} \leq \tau_a \leq \tau_{-s}, \end{cases}$$

($z = sm, m, sh$),

$$\rho_{z,s} = \begin{cases} \rho_z^* \left(N \frac{\lg N_f(\tau_{a_i}, \omega_i)}{\lg N_f(\tau_s, \omega_i)} (t) - 1 \right) & \text{при } \lg N_f(\tau_{-1}, \omega_i) \leq \lg(\omega_i t \times N_z(\tau_{a_i}, \omega_i)) \leq \lg N_f(\tau_s, \omega_i), \\ \rho_z^* & \text{при } \lg(\omega_i t \times N_z(\tau_{a_i}, \omega_i)) \geq \lg N_f(\tau_s, \omega_i), \end{cases} \quad (5)$$

$$\rho_{z,-1} = \begin{cases} \rho_z^* \left(N \frac{\lg N_f(\tau_{a_i}, \omega_i)}{\lg N_f(\tau_{-1}, \omega_i)} (t) - 1 \right) & \text{при } \lg(\omega_i t \times N_z(\tau_{a_i}, \omega_i)) \leq \lg N_f(\tau_{-1}, \omega_i), \\ \rho_{z,s} & \text{при } \lg(\omega_i t \times N_z(\tau_{a_i}, \omega_i)) \geq \lg N_f(\tau_{-1}, \omega_i), \end{cases}$$

трещин заданного значения ρ_{sh}^* . Предельное уравнение, описывающее микроразрушение твердого тела для асимметричного нагружения вида (2), в диапазоне изменения его характеристики

$$\tau_s \geq \tau_m \geq \tau_{pr}, \quad \tau_{-1} \geq \tau_a \geq \tau_{-s}, \quad (8)$$

имеет вид:

$$\frac{\tau_m}{\tau_s} + \frac{\tau_a}{\tau(\omega t^*, t^*)} = P(\omega t^*, t^*), \quad (9)$$

причем

$$\begin{aligned} P(\omega t^*, t^*) &= \frac{\tau_{-1} - \tau_{-s}}{\left(R^{\frac{\lg t_f(\tau_m)}{\lg N_f(\tau_a, \omega)}} - 1 \right) (2 - R)}, \\ (2 - R) &\left(\frac{\lg N_f(\tau_a, \omega)}{\lg N_f(\tau_{-1}, \omega)} - 1 \right) \left(1 - \frac{\tau_{pr}}{\tau_s} \right) \\ P(\omega t^*, t^*) &= 1 + \frac{1}{(2 - R) \left(R^{\frac{\lg t_f(\tau_m)}{\lg N_f(\tau_s)}} - 1 \right)} \\ \cdot \left(\left(\frac{\lg N_f(\tau_a, \omega)}{\lg N_f(\tau_{-1}, \omega)} - 1 \right) \left(1 - \frac{\tau_{pr}}{\tau_s} \left(\frac{2 - \aleph}{1 - \frac{\tau_{-s}}{\tau_{-1}}} - 1 \right) \right) + \right. \\ \left. \left(2 - R^{\frac{\lg t_f(\tau_m)}{\lg N_f(\tau_s)}} \right) \left(1 - \frac{\tau_{pr}}{\tau_s} \right) \right), \end{aligned} \quad (10)$$

$$\aleph = \exp \left(\frac{\ln 2 \cdot \lg (\bar{t}^* \cdot t_{sh}(\tau_m))}{\lg t_f(\tau_m)} \right), \quad \aleph = \exp \frac{\ln 2 \cdot \lg (\bar{\omega} t^* \cdot N_{sh}(\tau_a, \omega))}{\lg N_f(\tau_a, \omega)}.$$

Рассмотрим произвольное нагружение вида (6). Критерий разрушения по коротким трещинам с учетом выражения (3) приобретает следующий вид:

$$\frac{1}{\rho_{sh,0}(t^*) + \sum_{i=1}^I \rho_{sh,a_i}(t^*, \omega_i t^*)} = 1, \quad (11)$$

где $\rho_{sh,0}(t^*)$ определяется по формуле (4) и является линейной функцией t_m , функции $\rho_{sh,a_i}(t^*, \omega_i t^*)$ находятся из зависимости (5) и являются линейными функциями τ_{a_i} .

С помощью выражений (4) рассмотрена взаимосвязь между общей плотностью коротких трещин и статическим нагружением при несокогревательной ползучести хромотитового сплава [2-5]. При этом соотношения (5), исследована взаимосвязь между объемной и полной плотностью коротких трещин и симметричным нагружением пекоторыми конструкционными сталью [2-5].

2. О вероятностном анализе результатов диагностики микроразрушений твердых тел

Предположим, что экспериментально определены процессы изменения во времени плотности субмикроскопических $\rho_{sm} = \rho_{sm}(t)$, микроскопических $\rho_m = \rho_m(t)$ и коротких $\rho_{sh} = \rho_{sh}(t)$ трещин в теле под действием механического нагружения методами лефектоскопии, например, методом фрактографии микроструктуры с помощью электронных микроскопов, ультразвуковым, магнитным или радиационным методом лефектоскопии.

2.1. Метод ультразвуковой диагностики основан на измерении ультразвуковым лефектоскопом интенсивности ультразвукового излучения. Ультразвуковой дефектоскоп представляет собой автоматизированный диагностический прибор, предназначенный для определения лефектов ультразвуковыми датчиками, которые устанавливаются нормально к поверхности тела или под различными углами с целью увеличения зоны контакта с телом, поверхность которого искривлена. В качестве источников ультразвуковых колебаний используют пьезоэлектрические и магнитострикционные преобразователи. Пьезоэлектрический кристалл преобразователя (излучатель) располагают между электродами, на которые подается переменный ток ультразвуковой частоты. Излучатель выбирает с частотой тока, при этом излучаемый ультразвук. Амплитуда излучения пропорциональна напряжению на электродах. После излучения латчиком ультразвукового импульса происходит отражение сигнала от различных поверхностей и дефектов в теле. Отраженные сигналы также фиксируются этим же датчиком. Диагностику лефектов в конструкции проводят по величине эхосигнала. О форме и ориентации дефекта относительно оси звукового поля судят по форме и высоте эхо-сигнала. Такие латчики получают с помощью импульсной спектрометрии — анализом эхо-импульсов от дефектов как функции частоты и амплитуды импульсов датчика. Этот метод особенно эффективен при проверке различных элементов на расстоянии, когда исходнородности характеризуются большой протяженностью направлении по нормали к звуковому лучу, для получения корро-

зионной карты повреждений, а также для обнаружения неглубоких протягивателью ориентированных трещин у поверхности тела.

В основе другого, магнитного метода дефектоскопии используется искривление линий магнитного поля около трещины или дефекта из-за местного изменения магнитной проницаемости. Магнитные дефектоскопы состоят из постоянными магнитами, которые создают в теле магнитное поле, или источниками переменного или импульсного напряжения. Высокочувствительные индуктивные датчики, установленные между магнитным полем и полюсами, регистрируют уровень магнитного потока, изменяющийся из-за повышения магнитного сопротивления или пресечения магнитных силовых линий вследствие наличия различных особенностей, дефектов, трещин и т.п., имеющихся в теле. Для обнаружения поверхностных трещин используют магнитно-порошковый метод с применением магнитного порошка в виде черных, цветных или флюоресцирующих ферромагнитных частиц размером около 10 мкм, взвешенных в жидкой эмульсии или газовой взеси. Этот порошок притягивается на поверхность трещины и результатом действия больших градиентов магнитного поля в ее зоне, создавая некоторый рисунок. Этот метод позволяет выявить поверхностные трещины длиной от 10^{-3} м (ширикой раскрытия от 10^{-3} м) (т.е. короткие трещины и макротрещины), а также подповерхностные нарушения сплошности на глубинах до 0,3 м.

Электронная дефектоскопия основана на сканировании поверхности разрушения электронным лучом высокой интенсивности и возбуждении электрополем этого луча на трещинах вторичных электронов, которые дают изображение трещины. Этот метод позволяет выявить подповерхностные трещины длиной от 0,1 м (макротрещины).

В акустико-эмиссионном методе используют акустическую эмиссию, при которой в процессе нагружения тела регистрируется испытание упругих волн погружением трещинами в структуру тела. Акустические волны содержат информацию о происходящих физических процессых и распространяются на большие расстояния (до 1 м) значительного затухания. Применение акустической эмиссии позволяет определить инкубационный период развития микротрещин и контролировать процесс кинетики их роста.

Метод пропиляющих веществ используется для выявления подгруженного тела погружается в горячее масло, затем его поверхность опаивается и покрывается мелом. По мере выделения масла из трещин на поверхности тела образуется пятно. Радиационная дефектоскопия обеспечивает фиксацию изображений трещин при просвечивании тела на рентгеновской пленке или на конструтивном элементе.

Флюоресцирующим экрани. Размеры дефектов определяют по распределению интенсивности просвечивания в виде повторений на рентгеновской пленке. При радиометрическом контроле производят сканирование узким пучком излучения с фиксацией данных в цифровом виде.

Разрушения конструктивных элементов обусловлены стохастическими процессами разрыва по времени субмикроскопических, микрометрических и коротких трещин в основном материале элемента, геометрических дефектов, коррозионных трещин, стресс-коррозионных трещин.

2.2. По результатам ультразвуковой диагностики вычислим плотности коротких трещин в конструктивном элементе при неоднородном напряженном состоянии $\rho_{sh,1}, \dots, \rho_{sh,Z}$, $y = 1, \dots, Y$. Для этих значений из критерия разрушения по коротким трещинам (11) найдем множество предельных времен $t_{x,y}^*$, $x = 1, \dots, X$.

Множеству значений плотностей коротких трещин $\rho_{sh,1}, \dots, \rho_{sh,Z}$, $y = 1, \dots, Z$, обнаруживаемых средствами фрактографии микроструктуры с помощью электронных микроскопов, поставим в соответствие предельное время $t_{z,2}^*$, $z = 1, \dots, Z$. Наконец, по данным магнитной дефектоскопии определим множество значений $\rho_{sh,1}, \dots, \rho_{sh,X}$, $x = 1, \dots, X$, и соответствующее ему множество предельных времен $t_{x,3}^*$, $x = 1, \dots, X$.

Вероятность микроразрушений конструктивного элемента $P_{sh} = P_{sh}(t_r)$ определяется суммой вероятностей микроразрушений, обнаруживаемых ультразвуковой дефектоскопией, магнитной дефектоскопией и методом фрактографии микроструктуры, в течение заданного времени (теоретика сложения вероятностей для независимых событий):

$$P_{sh}(t_r) = \left\{ \sum_{y=1}^Y \frac{P_{y,1}(t_r)}{1-P_{y,1}(t_r)} + \sum_{z=1}^Z \frac{P_{z,2}(t_r)}{1-P_{z,2}(t_r)} + \sum_{x=1}^X \frac{P_{x,3}(t_r)}{1-P_{x,3}(t_r)} \right\} \cdot \prod_{y=1}^Y [1 - P_{y,1}(t_r)] \prod_{z=1}^Z [1 - P_{z,2}(t_r)] \prod_{x=1}^X [1 - P_{x,3}(t_r)], \quad (12)$$

где $P_{y,1}(t_r)$ — вероятность появления коротких трещин плотности $\rho_{sh,y}$, $y = 1, \dots, Y$, обнаруженных ультразвуковым обследованием, в течении t_r ; $P_{z,2}(t_r)$ — вероятность появления коротких трещин плотности $\rho_{sh,z}$, $z = 1, \dots, Z$, диагностируемых в конструктивном элементе средствами фрактографии микроструктуры с помощью электропроточного микроскопа, в течение срока его эксплуатации t_r ; $P_{x,3}(t_r)$ — вероятность появления коротких трещин плотности $\rho_{sh,x}$, $x = 1, \dots, X$, в конструктивном элементе, обнаруженная магнитным методом дефектоскопии, в течение срока эксплуатации t_r ; t_r — срок эксплуатации

Предполагается, что вероятность появления коротких трещин плотности $\rho_{sh}(t_r)$ в течение срока эксплуатации t_r однозначно определяется поправлением $\pi = \pi(t)$, при этом $\pi = \frac{\rho_{sh}(t_r)}{\rho_{sh}^*}$ [3,5]:

$$\begin{aligned} P_{y,1}(t_r) &= \varphi\left(\pi\left(\frac{\rho_{sh,y}(t_r)}{\rho_{sh}^*}\right)\right), \quad P_{z,2}(t_r) = \varphi\left(\pi\left(\frac{\rho_{sh,z}(t_r)}{\rho_{sh}^*}\right)\right), \\ P_{x,3}(t_r) &= \varphi\left(\pi\left(\frac{\rho_{sh,x}(t_r)}{\rho_{sh}^*}\right)\right). \end{aligned} \quad (13)$$

В качестве функции $\varphi = \varphi(t_r)$ для описания вероятности появления коротких трещин в течение срока службы конструктивного элемента t_r выберем распределение Гуассона в такой форме:

$$\varphi = \frac{\rho_{sh}}{\rho_{sh}^*} \exp\left(-\frac{\rho_{sh}}{\rho_{sh}^*}\right). \quad (14)$$

Таким образом, вероятность микроразрушений конструктивного элемента $P_{sh} = P_{sh}(t_r)$ с привлечением выражений (13) и (14) определяется по следующему соотношению:

$$\begin{aligned} P_{sh}(t_r) &= \left\{ \sum_{y=1}^Y \frac{\frac{\rho_{sh,y}}{\rho_{sh}^*} \exp -\frac{\rho_{sh,y}}{\rho_{sh}^*}}{1 - \frac{\rho_{sh,y}}{\rho_{sh}^*} \exp -\frac{\rho_{sh,y}}{\rho_{sh}^*}} + \sum_{z=1}^Z \frac{\frac{\rho_{sh,z}}{\rho_{sh}^*} \exp -\frac{\rho_{sh,z}}{\rho_{sh}^*}}{1 - \frac{\rho_{sh,z}}{\rho_{sh}^*} \exp -\frac{\rho_{sh,z}}{\rho_{sh}^*}} + \right. \\ &+ \left. \sum_{x=1}^X \frac{\frac{\rho_{sh,x}}{\rho_{sh}^*} \exp -\frac{\rho_{sh,x}}{\rho_{sh}^*}}{1 - \frac{\rho_{sh,x}}{\rho_{sh}^*} \exp -\frac{\rho_{sh,x}}{\rho_{sh}^*}} \right\} \cdot \prod_{y=1}^Y \left[1 - \frac{\rho_{sh,y}}{\rho_{sh}^*} \exp\left(-\frac{\rho_{sh,y}}{\rho_{sh}^*}\right) \right] \cdot \\ &\cdot \prod_{z=1}^Z \left[1 - \frac{\rho_{sh,z}}{\rho_{sh}^*} \exp\left(-\frac{\rho_{sh,z}}{\rho_{sh}^*}\right) \right] \prod_{x=1}^X \left[1 - \frac{\rho_{sh,x}}{\rho_{sh}^*} \exp\left(-\frac{\rho_{sh,x}}{\rho_{sh}^*}\right) \right]. \end{aligned} \quad (15)$$

Представленный подход позволяет учитывать значения объемных плотностей коротких трещин, вычисленных по результатам диагностики развития трещин в конструктивном элементе различными методами.

Литература

1. Zavoitchinskaya E. About an approach to an estimation of time of short crack origin at quasiperiodic complex loading – Physical aspects of fracture. Cargese (Corsica), France, NATO Advanced Study Institute, 5-17 June, 2000.
2. Задойчинская Э.Б., Куйко И.А. Введение в теорию процессов разрушения твердых тел. М.: МГУ, 2004г. 168 с.
3. Задойчинская Е.И., Задойчинская Э.Б. Методика оценки остаточного срока службы и периодичности проледения диагностики технического состояния трубопровода (Часть 1). Контроль, Диагностика. № 5 (95) 2006. 15-23 с.